

# 设计中的应力集中系数

R.E.波德逊著

刘婉朴译

中国工业出版社

72.51  
361

# Design Stress Factor

对机器零件及结构元件进行强度计算时用的图表及关系式

[美] R·E·彼德逊著

刘纯朴译 傅梦谨校

中国工业出版社

1965.6.21

4001413

本书系統的論述了在机器零件或結構构件設計中的应力集中系数。

全书共分五章，即定义及設計关系式、沟槽和缺口、台肩圓角、板或軸中的孔、各种元件的設計等。各章并附有較多的有关曲线图。另外在书后尚有四节附录，即带单个沟槽或缺口的构件的应力关系式、用于脆性材料疲劳的莫尔理論、极限循环次数关系式的推导及组合应力关系式的推导等。

本书供机械設計師、工艺师及科学的研究工作人员閱讀，亦可供有关专业的高等学校师生参考。

R.E.Peterson

**STRESS CONCENTRATION DESIGN FACTORS**

(John Wiley & Sons, Inc., New York, 1953)

\* \* \*

**设计中的应力集中系数**

刘純朴 译 傅梦蓬 校

\*

机械工业图书編輯部編輯(北京苏州胡同141号)

中国工业出版社出版(北京佟麟閣路丙10号)

北京市书刊出版业营业許可证出字第110号

中国工业出版社第一印刷厂印刷

新华书店北京发行所发行·各地新华书店經售

\*

开本787×1092<sup>1</sup>/<sub>16</sub>·印張10<sup>1</sup>/<sub>4</sub>·插頁2·字數89,000

1965年5月北京第一版·1965年5月北京第一次印刷

印数0001—7,660·定价(科五)1.80元

\*

统一书号：15165·2876(一机-602)

## 原序(节译)

改进零件设计是工程界经常面临的一个问题。零件损坏造成的后果，轻则需要花费修配费用，浪费生产工时；重则发生人身伤亡等严重事故。

近三年来，“自由”号在运行中，曾由于螺旋轴疲劳破坏而丢失在海中的螺旋桨大约有100根<sup>①</sup>。虽然只有少数的飞机失事是由于结构的损坏，但在维修工作中发现并修好的较小损坏事故却是为数不少，每月向美国民用航空管理局提出报告的大约有30起。这种情况还会越来越严重，因为高速飞行会带来更剧烈的风动载荷，而要经济地利用现有的大型飞机，又需要保持较长的使用寿命，这就有可能增加疲劳破坏。在其他的运输部门以及在动力和工业机器设计中都曾发生过类似的问题。

零件的损坏很少是由于材料的缺陷所致；经验证明改进的办法常常是包含着设计的修改。美国海军航空局发表的文件中曾说：“仅仅改变材料可对疲劳寿命有较小的改进，只有少数严重的疲劳问题曾经采取这种方法得到完善的解决，而大多数的问题常常是由于不正确的设计、制造及维护所造成的……。研究应力集中系数，可从抵抗反复载荷的观点产生出优秀的设计，以及近似地估计出各种不同几何形状的影响。”

本书的目的是为设计师提供参考资料，以便改进设计计算，减少一般的破坏情况，并获得良好均衡的设计。本书应主要当作是一种工具书，而不是一般的教科书。因此，本书只提出了足够的背景材料和文献，为进一步探索这方面的問題提供参考。

我们确信：设计工作必定会朝向更加合理的方向发展，希望本书能在这方面作出一些贡献。

R·E·Peterson

---

<sup>①</sup> 关于损坏的詳細情況，可參閱書末列出的參考文獻1至6。

## 符 号 表

$\alpha$ 、 $\theta$ 、 $\phi$	=角度。	$K_t$	=計算的系数。)
$a$	=孔的半徑，椭圓的最小寬度。	$K_{t_s}$	=軸向或弯曲載荷的疲劳缺口系数。 $(K_{t_s}$ 是由疲劳試驗確定的系数。)
$b$	=椭圓的最大尺寸。	$K_{t_s'}$	=扭轉疲劳缺口系数。 $(K_{t_s'}$ 是由疲劳試驗確定的系数。)
$b$	=螺距，缺口与缺口之間或孔与孔之間的距離。	$L$	=台肩的軸向長度。
$b$	=鍵槽的寬度。	$L_s$	=极限設計系数。
$C$	=循环次数比例 $N_{(a)}/N$ 。	$L_b$	=弯曲极限設計系数。
$c$	=彈簧指数（彈簧圈的平均直徑除以彈簧鋼絲的直徑）。	$L_s'$	=剪切(扭轉)极限設計系数。
$c$	=一行缺口的跨距。	$l$	=弯矩的力臂。
$c$	=从中性軸到最近纖維處的距離。	$M$	=弯矩。
$c$	=从孔的中心到杆或板的最近邊緣處的距離。	$m$	=密塞斯法則的乘數， $K_{t'}/K_{t_0}$ 。
$d$	=直徑(寬度)。	$m$	=T形头的高度。
$d$	=階梯軸或杆的最小直徑(或寬度)。	$m$	=寿命系数 $=N/N_{(a)}$ 。
$D$	=階梯軸或杆的最大直徑(或寬度)。	$n$	=安全系数。
$e$	=从孔的中心到杆的最近邊緣處的距離。	$N$	=在应力为 $\sigma$ 的情况下疲劳試驗破坏的循環次数。
$E$	=弹性模数。	$N_{(a)}$	=应力为 $\sigma$ 时的循环次数。
$E'$	=填充材料的弹性模数。	$\nu$	=波松比。
$g$	=重力加速度。	$P$	=載荷。
$\gamma$	=卸荷系数。	$P_a$	=徑节(齒輪)。
$\gamma$	=单位体积的重量。	$q$	=缺口敏感度系数， $\frac{K_t - 1}{K_{t_0} - 1}$ 。
$h$	=厚度。	$R_1$	=圓盤上孔的半徑，圓環的內半徑。
$h$	=輪齒的弯矩力臂。	$R_2$	=圓盤或圓環的外半徑。
$I$	=慣性矩。	$R_0$	=圓盤上非中心孔的半徑。
$J$	=极慣性矩。	$r$	=缺口的最小半徑，板或杆上圓孔的半徑。
$K_t$	=正应力的应力集中系数 $\sigma_{max}/\sigma_{nom}$ ( $K_t$ 是理論系数。)可带有不同的附加脚标，如 $K_{t_1}$ 代表椭圓缺口， $K_{t_2}$ 代表双曲綫缺口， $K_{t_3}, K_{t_4}, K_{t_5}$ 等代表各种特殊情况。	$\sigma$	=正应力。
$K_{t'}$	=計算应力集中(正应力)和密塞斯破坏法則的組合系数。 $(K_{t'})$ 是理論系数。可带有与 $K_t$ 相类似的脚标。	$\sigma_1, \sigma_2, \sigma_3$	=法向主应力。
$K_{t_s}$	=切应力的应力集中系数 $\tau_{max}/\tau_{nom}$ ( $K_{t_s}$ 是理論系数。)可带有各种附加脚标，如 $K_{t_{s1}}$ 等。	$\sigma_a$	=交变正应力(完全反复的)。
$K_{t_f}$ (或 $K_{t'_f}$ )	=估算的正应力疲劳缺口系数。 $(K_{t_f}$ 或 $K_{t'_f}$ 是計算的系数。)	$\sigma_o$	=稳定的(或靜的)正应力。
$K_{t_{sf}}$	=估算的切应力疲劳缺口系数。 $(K_{t_{sf}}$ 是	$\sigma_y$	=屈服强度(拉伸)。

$\sigma_{nom}$ =名义正应力，从 $P/A$ 或 $Mc/I$ 等基础公式計算得出的，沒有考慮應力集中的“峰”值。如构件上有孔时，即采用淨截面。

$\sigma_{net}$ =淨截面上的应力。

$\tau$ =切应力。

$\tau_a$ =交变切应力(完全反复的)。

$\tau_c$ =稳定的(或靜的)切应力。

$\tau_y$ =扭轉屈服强度(剪切)。

$\tau_e$ =无缺口試件的扭轉疲劳强度(剪切耐久限)。

$\tau_{ne}$ =缺口試件的扭轉疲劳强度。

$\tau_{max}$ =最大切应力。

$\tau_{nom}$ =从 $Tc/J$ 計算得出的名义切应力。如构件上有孔时，即采用淨截面。

$b$ =輪齿的基本宽度。

$t$ =缺口深度，或台肩高度，或鍛槽深度。

$v$ =周速度。

$w$ =宽度。

$W$ =单位长度面(齒輪)上的載荷。

# 目 录

原序(节譯)	
符号表	
第一章 定义及設計关系式.....	1
(A)应力集中 .....	1
(B)强度理論 .....	2
(C)缺口敏感度 .....	7
(D)稳定应力的設計关系式.....	10
(E)交变应力的設計关系式.....	12
(F)交变应力和稳定应力組合的設計关系式.....	13
(G)交变应力的极限循环次数 .....	16
第二章 沟槽和缺口 .....	20
(A) 单个沟槽或缺口 .....	20
(B) 多重缺口 .....	22
(C) 例題(带单个沟槽的軸).....	23
第三章 台肩圓角 .....	59
(A)受拉伸的台肩圓角.....	60
(B)受弯曲的台肩圓角.....	60
(C)受扭轉的台肩圓角.....	62
(D)外推法.....	62
(E)卸荷沟槽.....	63
(F)非圆形輪廓的圓角.....	64
第四章 板或軸中的孔 .....	77
(A) 带单个圓孔的受拉伸板.....	77
(B) 带加强边缘的圓孔.....	78
(C) 带单个椭圓孔的受拉伸板.....	79
(D) 开槽的拉伸杆.....	80
(E) 带矩形孔或三角形孔的拉伸板 .....	80
(F) 带多个圓孔的受拉伸板 .....	80
(G) 通过銷子傳递載荷的帶圓孔的板 .....	81
(H) 带孔的弯曲构件 .....	82
(I) 带孔的剪切(扭轉)构件 .....	82
(J) 内部空穴 .....	83
(K)填充物 .....	83
第五章 各种元件的設計 .....	108
(A) 带键槽的軸 .....	108
(B) 輪齿 .....	109

(C) 压入配合或冷缩配合的构件	110
(D) 螺栓和螺帽	112
(E) 螺钉头、透平叶片或压缩机叶片的联结(T形头)	113
(F) 曲杆	115
(G) 螺旋弹簧	115
(H) 起重机吊钩	116
(I) U形构件	116
(J) 角形或箱形截面	116
(K) 带孔的旋转圆盘	117
(L) 圆环或空心滚子	118
附录A 带单个沟槽或缺口的构件的应力关系式	137
附录B 用于脆性材料疲劳的莫尔理论	146
附录C 极限循环次数关系式的推导	148
附录D 组合应力关系式的推导	149
参考资料	152

# 第一章 定义及设计关系式

## (A) 应力集中

设计中所用的基本公式都是根据等截面或截面形状逐渐变化的构件来考虑的(图 1)，但是这种情况很少在实际的机器零件或结构构件中遇到。台肩、沟槽、孔、键槽、螺纹等的出现，都会改变图 1 中的简单应力分布情况，产生图 2 中所示的局部高应力。这种局部的高应力称为“应力集中”，用来度量应力集中的是“应力集中系数”。其定义为：

$$\left. \begin{array}{l} \text{对于正应力(拉伸或弯曲), } K_t = \frac{\sigma_{max}}{\sigma_{nom}} \\ \text{对于切应力(扭转), } K_{t_e} = \frac{\tau_{max}}{\tau_{nom}} \end{array} \right\} \quad (1)$$

式中的  $\sigma_{nom}$  和  $\tau_{nom}$  系按照图 1 中的基本公式来确定。(如果有孔时，即采用净截面)。

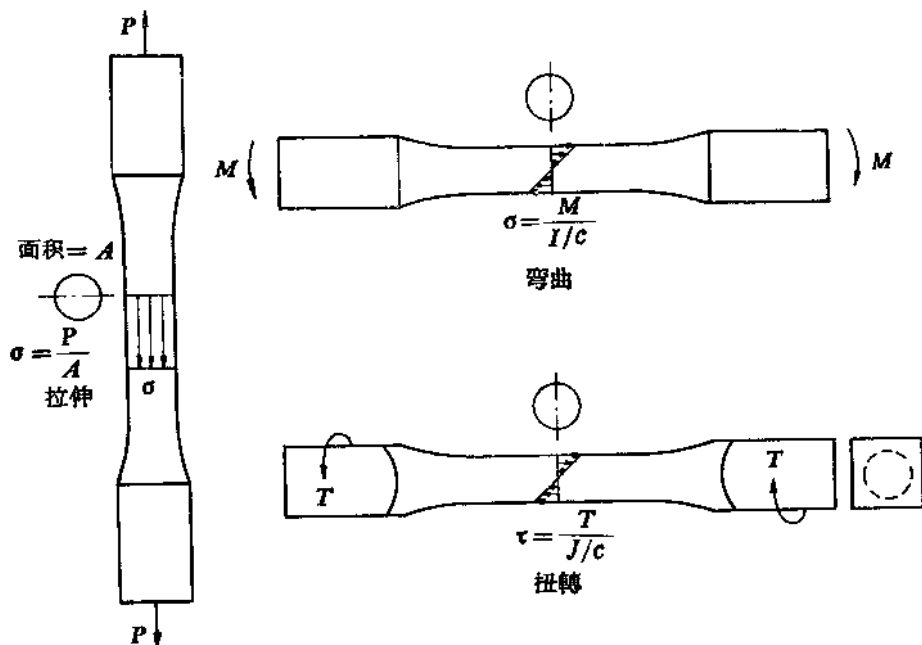


图 1 基本应力情况  
(等截面或逐渐变化的截面)

采用脚标  $t$  是由于“应力集中系数”系一“理论系数”(亦即根据弹性理论中的一般假设，如虎克定律、材料均匀性等)。脚标  $t$  (和  $t'$ ) 可把理论系数与“试验系数”区别开来。“试验系数”如

$K_t$ , 將在以後說明①。

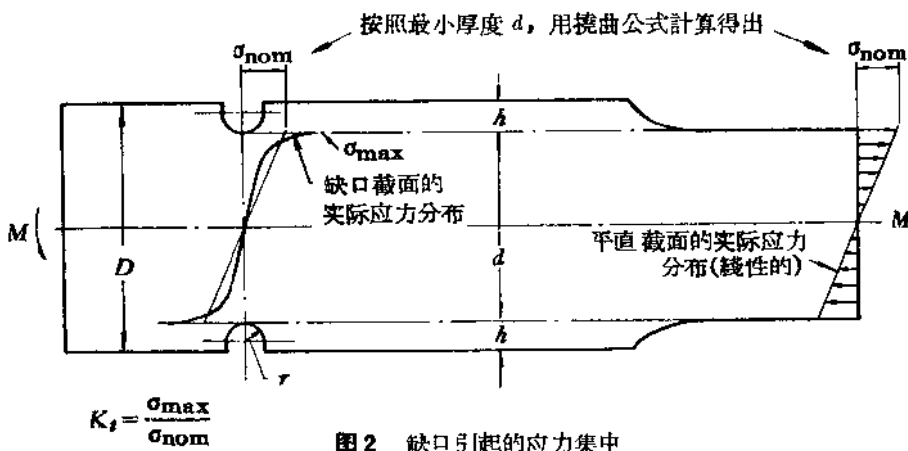


图2 缺口引起的应力集中

(或者截面不是逐渐变化的)光弹性条纹照片图——利文(Leven)

应力集中系数可用数学方法或实验方法<sup>8</sup>求得。实验的方法如光弹性法、精密应变计测量法、扭转的薄膜比拟法、或扭转的电比拟法等。如果实验工作做得十分精确，所得结果与用公认的数学计算法算出的应力集中系数非常符合。

可惜的是，本书第一章其余部分都是讨论实用方面的工作，而不是完全根据理论。这样，就需要更多的实际数据，特别是对精度要求高的材料试验，常常需要应用统计的方法，同时，还必须细致地考虑材料中的方向性效应。应当指出：设计人员不能等待所有这些问题都得出精确的解答。通常对于现有的资料必须加以评定和判断，才能用来发展合理的近似设计方法。使得一些可疑的情况趋向于安全。肯定地，实践是不断前进的，并有必要进行相应的修正。但是另一方面，可以认为：我们在应用这些方法中所获得的有限经验是成功的。

### (B) 强 度 理 论

如果设计问题中只包括单向应力系统，就不需要过多地考虑强度理论。但是即使是很简单的

① 按照定义，“应力集中系数”总是一个理论系数，严格的说，不需要用“理论应力集中系数”这一名词。但为了避免产生误解，有时候还是这样做了。那些用来表示试验结果的“疲劳应力集中系数”或“有效应力集中系数”等名词，都可能引起误解。因此，在试验结果中，采用不包括“应力集中”字样的名词，会更适合些。

載荷情況，也可能造成兩向應力系統。承受內壓的薄壁球形容器就是一個例子。作用在容器單元體上的即系兩向拉伸。另一個例子是受扭轉的圓杆，在圓杆的 $45^\circ$ 方位處的表面單元體上即產生兩向的拉伸和壓縮。

從應力集中的觀點來看，必須注意軸向拉力那樣的簡單載荷會使開槽的杆件產生兩向表面應力，見圖3。軸向載荷 $P$ 在開槽的表面單元體上，產生軸向拉應力 $\sigma_1$ 和環向拉應力 $\sigma_2$ 。

對於單向、兩向、或三向應力系統，已有了相當多的理論<sup>9</sup>；但此處將只考慮設計中所常用的<sup>10</sup>。它們是：用於脆性材料的正應力法則，莫爾(Mohr)理論；用於塑性材料的最大切應力理論，密塞斯(Mises)法則。

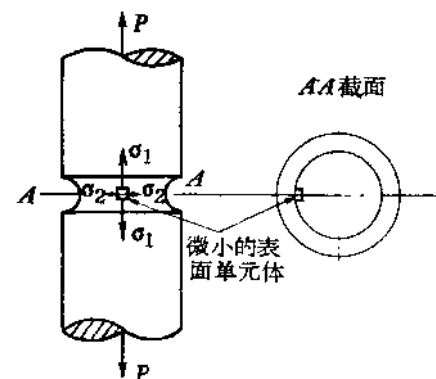


圖3 帶缺口拉伸構件中的兩向應力

### 正應力法則

這個法則可闡明如下：在多向應力系統中，當一拉伸主應力達到單向抗拉強度 $\sigma_{ut}$ ，或一壓縮主應力達到單向抗壓強度 $\sigma_{uc}$ 時，材料便發生破壞。對於脆性材料， $\sigma_{uc}$ 常比 $\sigma_{ut}$ 大得多。圖4表示兩向應力狀態( $\sigma_1$ 和 $\sigma_2$ 為主應力， $\sigma_3=0$ )，正應力法則是用正方形CFHJ表示的。當 $\sigma_{ut}=\sigma_{uc}$ 時，正應力法則即稱為最大正應力理論。

參閱圖4，杆件在單向拉伸時的強度 $\sigma_{ut}$ 為 $OB$ 。注意在垂直方向加上一個應力 $\sigma_3$ ，並不影響其強度。

對於扭轉， $\sigma_3=-\sigma_1$ (直線 $AOB$ )，而且這兩個主應力與所加的應力 $\tau$ 大小相等，因此扭轉破壞時的正應力狀態(圖4中的 $MA$ )為：

$$\tau_u = \sigma_{ut} \quad [2]$$

換句話說，按照正應力法則，抗扭強度和抗拉強度值應當相等。

### 莫爾理論

按照莫爾理論，脆性材料的破壞狀態如圖5所示。圖上畫出了以 $\sigma_{ut}$ 和 $\sigma_{uc}$ 為直徑的圓。對於任何其他應力狀態，當莫爾圓(外包直徑為 $\sigma_1$ 和 $\sigma_2$ 的圓，如圖所示)與 $\sigma_{ut}$ 和 $\sigma_{uc}$ 圓的公切線<sup>11</sup>相切時，即代表破壞條件<sup>12</sup>。兩向應力狀態的合成圖如圖4所示<sup>13</sup>。在圖6中可以見到，除了不對稱以外，圖4是和最大切應力理論的表示法相似的。在圖4中的第二(或西北)象限內，保持下面的關係：

$$\sigma_1/\sigma_{ut} - \sigma_2/\sigma_{uc} = 1 \quad [3]$$

脆性材料的某些試驗能使正應力法則<sup>13</sup>獲得証實，而其他一些試驗和推論所得的結果，則認

① 塑性材料與脆性材料沒有肯定的區別；有時用延伸率5%作為分界線<sup>11</sup>。

② 普通莫爾理論的包絡線是一曲線，直線只是它的一種特殊情形。

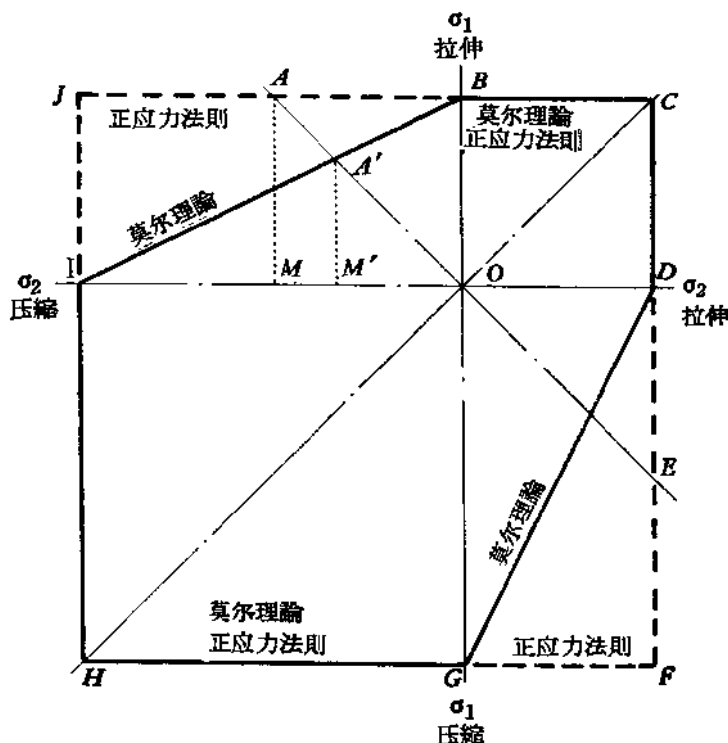
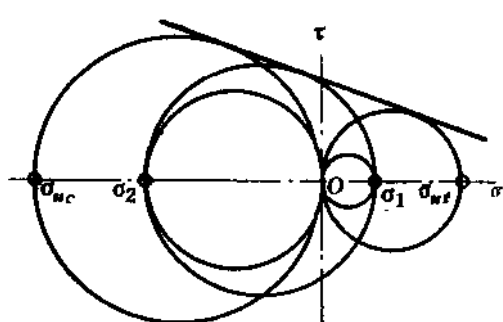


图 4 脆性材料两向应力状态的强度理论

为莫尔理論<sup>13,14,15</sup>更好一些。在第一(东北)和第三(西南)象限中，正应力法则给出相同的结果。对于扭轉，应用莫尔理論偏于安全，因为所用的极限强度值是  $M'A'$ ，而不是  $MA$ (图 4)。图 4 中的  $M'A'$  可表示如下：

$$\tau_* = \frac{\sigma_{ut}}{1 + (\sigma_{ut}/\sigma_{uc})} \quad (3a)$$



#### 最大切应力理論

最大切应力理論是作为屈服破坏法則提出的，但也可用于疲劳破坏；在塑性材料中，破坏是从最大切应力分量开始的<sup>16</sup>。按照最大切应力理論，当多向应力系統中其最大切应力达到单向受力杆件破坏时的切应力数值时，即发生破坏。在图 6 中，最大切应力理論是用六边形图形表示的。假設考虑疲劳破坏，并用  $\sigma_e$  表示交变拉—压应力状态下的单向疲劳强度(耐久限)，当主应力为  $\sigma_1$ 、 $\sigma_2$  和  $\sigma_3$  时，其最大切应力为：

$$\frac{\sigma_1 - \sigma_3}{2}; \quad \frac{\sigma_1 - \sigma_2}{2}; \quad \frac{\sigma_2 - \sigma_3}{2}.$$

在两向应力系統中， $\sigma_3 = 0$ ， $\sigma_1$  大于  $\sigma_2$ ，而且都是拉应力时，则破坏发生在

$$\frac{\sigma_1 - 0}{2} = \frac{\sigma_e}{2}$$

即

$$\sigma_1 = \sigma_e$$

[4]

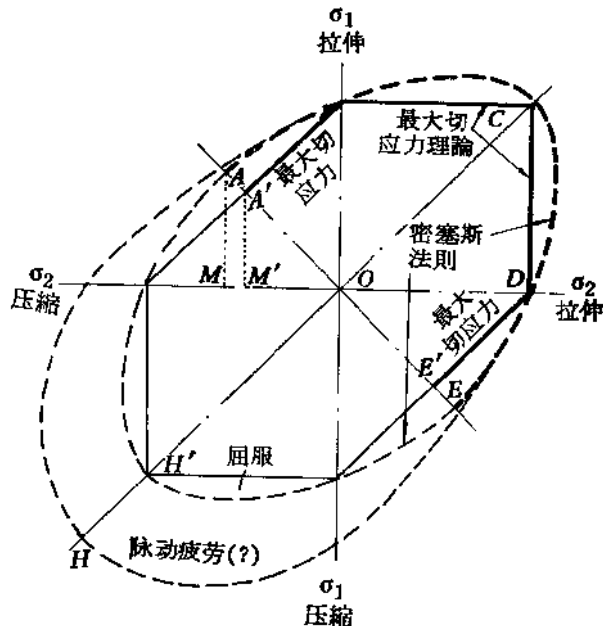


图 6 塑性材料两向应力状态的强度理论

图 6 中第一象限所表示的即是这种情形。但在第二和第四象限内，其两向应力的符号相反，所得的结果也就不同。当  $\sigma_2 = -\sigma_1$ ，如图 6 中  $AE$  线所表示的那样时，则按照最大切应力理论，其疲劳破坏发生在

$$\frac{\sigma_1 - (-\sigma_1)}{2} = \frac{\sigma_e}{2} \quad \text{或} \quad \sigma_1 = \frac{\sigma_e}{2} \quad (\text{图 6 中 } M'A' = \frac{OB}{2})$$

在扭转试验中， $\sigma_2 = -\sigma_1 = \tau$

故

$$\tau_s = \frac{\sigma_e}{2}$$

[5]

这恰恰相当于正应力法则数值的一半。

### 密塞斯法则

下面的数学关系式是由 R. Von 密塞斯<sup>17</sup>提出的，它代表屈服破坏法则。

$$\sigma_y = \sqrt{\frac{(\sigma_1 - \sigma_2)^2 + (\sigma_2 - \sigma_3)^2 + (\sigma_1 - \sigma_3)^2}{2}} \quad [6]$$

式中  $\sigma_y$  等于单向受载杆件的屈服强度。如果  $\sigma_3 = 0$ ，则

$$\sigma_y = \sqrt{\sigma_1^2 - \sigma_1 \sigma_2 + \sigma_2^2} \quad [7]$$

这个关系在图 6 中是以虚线椭圆表示的，其中  $OB = \sigma_y$ 。它与六边形不同之处在于它没有不連續性，而这种不連續性从物理意义上看来是不合理的。后来亨斯凯 (Hencky)<sup>18</sup> 証明：如果将

切力能量作为破坏法则，也可获得关系式(6)。爱琴格(Eichinger)<sup>19</sup>和纳地(Nadai)<sup>20</sup>用“八面体切应力”也获得等效的结果。但是如果考虑任意取向的晶体聚集的统计特性，正如萨赫斯(Sachs)<sup>21</sup>，科克斯(Cox)和索普威思(Sopwith)<sup>22</sup>所指出的，则所得的结果与(6)式所确定的非常符合。为避免引起误解，比钦(Beeching)<sup>23</sup>曾经建议采用其他的名词来代替“切力能量理论”。近来简称的“密塞斯法则”已获得更为广泛的应用<sup>24,25</sup>，并将在本书全书中采用。

对于扭轉情形， $\sigma_2 = -\sigma_1 = \tau$ ，密塞斯法则成为：

$$\tau_y = \frac{\sigma_y}{\sqrt{3}} = 0.577\sigma_y \text{ (在图 6 中 } MA = 0.577OB \text{)} \quad (8)$$

式中  $\tau_y$  = 简单扭轉杆件的屈服强度。

从图 4 和图 6 可以看出所有上述的理论在 C 点都相符合，C 点代表相等的拉伸，但在 A E 线上就不同了，A E 线代表大小相等的拉伸和压缩(扭轉)。

塑性材料的屈服试验证明密塞斯法则能够很好地解释各种二向应力状态的结果。普拉格(Prager)和霍奇(Hodge)<sup>25</sup>曾经指出：虽然一致性可以看作是偶然的，但密塞斯法则仍然有实用的价值，因为它的数学计算简单，即使它与试验结果的一致性较差一些<sup>10</sup>。

许多文献<sup>26~28</sup>证明，密塞斯法则也能对塑性材料在完全交变或脉动拉伸循环下的疲劳试验结果(图 6 右边上半部的椭圆 A B C D E)，给出较好的解释。如图 7 所示，密塞斯法则(上边的

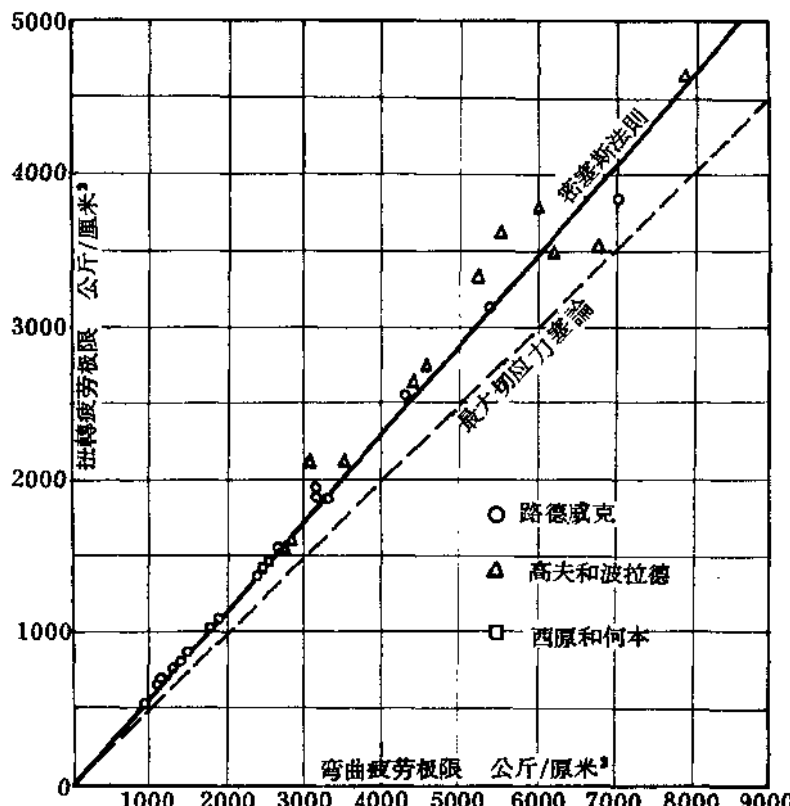


图 7 塑性材料弯曲和扭轉疲劳极限的比較

(續)与交变試驗結果的符合程度要比最大切应力理論(下邊的綫)好。如果把屈服限作为破坏条件, 則圖 6 中的椭圓是对称于  $A E$  線的。至于  $A E$  線下面的区域(压缩边), 可以証明在脉动压缩(例如从 0 到最大压缩)下, 其面积是大为扩大了<sup>33~35</sup>。此处所要討論的主要是指右边上部的面积①。

由于設計中大多数是用的塑性材料, 而且由于带缺口的杆件, 即使在简单載荷下(图 3), 都将包括有两向的拉伸(图 6 中的第一象限), 因此有必要将密塞斯法則轉換成一简单的形式, 以便于設計師所采用。現可采用如下的作法:

在图 3 中, 对于任何特定的缺口,  $\sigma_2 = c\sigma_1$ , 亦即在彈性範圍內应力的比值为一常数。

代入(7)式, 并用疲劳来代替屈服, 可得

$$\sigma_1 \sqrt{1 - c + c^2} = \sigma_e \quad (9)$$

不管尖端部分的尖銳程度如何, 現在假設仍按(9)式发生破坏, 并用  $\sigma_{n*}$  表示相应的名义应力(見图 1), 則

$$\frac{\sigma_1}{\sigma_{n*}} \sqrt{1 - c + c^2} = \frac{\sigma_e}{\sigma_{n*}}$$

$$K_t \sqrt{1 - c + c^2} = K_t' \quad (10)$$

$K_t$  为应力集中系数;  $K_t'$  可以当作是一“組合系数”, 系由应力集中和密塞斯破坏法則联合組成的。 $K_t$  和  $K_t'$  都是理論系数。在第二章和第三章中給出了带有环形沟槽或有台肩圆角的圓杆的  $K_t$  和  $K_t'$  图表。在  $K_t'$  图表上, 紿出了  $K_t' = mK_t$  的关系式; 式中  $m$  即系 [10] 式中的  $\sqrt{1 - c + c^2}$ , 可以认为是一个包括了密塞斯破坏法則的系数。

由于在上面这些例子中(即最大应力元件所受的是两向拉伸),  $K_t$  总是大于  $K_t'$ , 因此建議: 在缺乏資料或有疑問的类似新問題中, 可采用  $K_t$  使其偏于安全, 而其差額决不会超过 15%。

### (C) 缺口敏感度

大家都知道, 缺口对零件疲劳强度的影响是与材料和缺口的几何形状有很大关系的, 而且常常② 比应力集中理論系数所确定的效应要小。这种普遍現象用“缺口敏感度”来表示。缺口敏感度可以当作是理論效应实际达到的程度。可确定如下:

$$q = \frac{K_t - 1}{K_t' - 1} \quad (11)$$

或  $q = \frac{K_t - 1}{K_{t_s} - 1} \quad (12)$

或  $q = \frac{K_{t_s} - 1}{K_{t_s} - 1} \quad (13)$

式中  $q$  = 缺口敏感度系数;

$K_t$  = 理論系数, 即应力集中系数(正应力);

① 在图 4 和图 6 中可以看到图上的所有代表量都与  $HC$  線对称。在生产的材料中, 如鍛件、杆料等, 都有較大的方向性效应(即其横向的强度要比纵向的强度小得多)。芬德来(Findley)曾經提出在强度理論中应考慮各向异性的問題。

② 已得出某些实用情况下的純理論效应(将在后面討論)。

$K_t'$  = “組合系数”，考虑到应力集中和强度理論(密塞斯法則)；

$K_{t_s}$  = 应力集中系数(切应力)；

$$K_t = \text{疲劳缺口系数(正应力)} = \frac{\sigma_s}{\sigma_{se}} = \frac{\text{无缺口試件的疲劳强度} \textcircled{1} (\text{轴向或弯曲})}{\text{有缺口試件的疲劳强度(轴向或弯曲)}}$$

$$K_{t_s} = \text{疲劳缺口系数(切应力)} = \frac{\tau_s}{\tau_{se}} = \frac{\text{无缺口試件的疲劳强度(扭轉)}}{\text{有缺口試件的疲劳强度(扭轉)}}$$

上面确定的  $q$  是衡量缺口敏感度的一个尺度。从 [11] 式中可看出， $q$  从零(即无缺口效应；当  $\sigma_{se} = \sigma_s$  时， $K_t = 1$ )变到1(即全理論效应；当  $K_t = K_{t_s}$ )。

图8和图9画出了  $q$  的典型数值<sup>37~43</sup>与缺口半徑  $r$  的关系曲線，因为局部的应力分布(应力

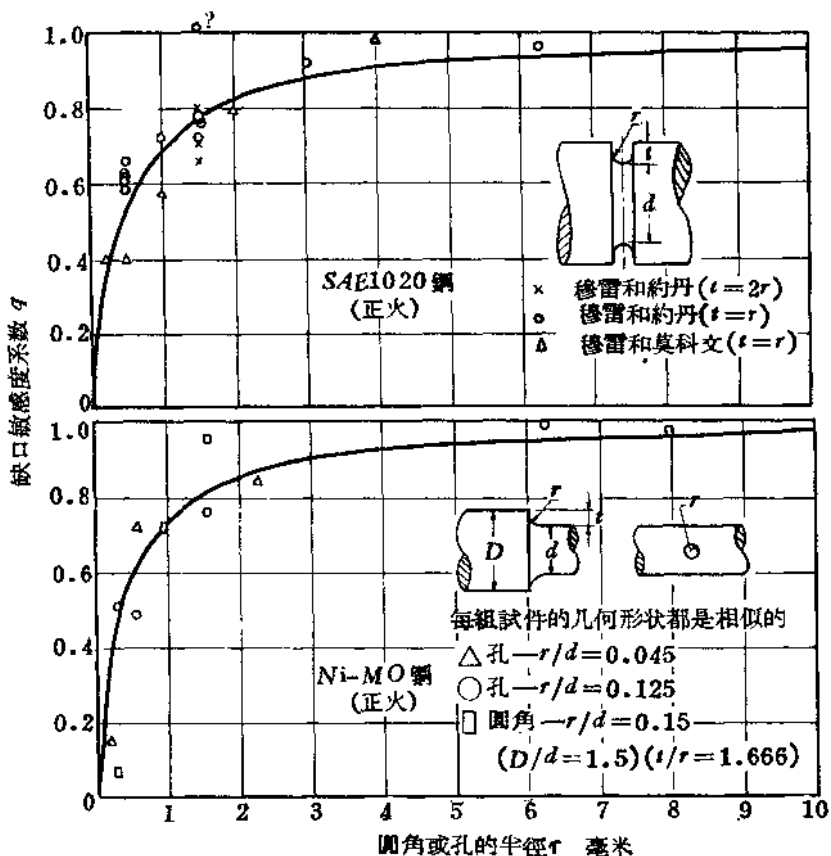


图8 正火鋼試件的缺口敏感度

梯度，峰值应力处的容积)与这个变量的关系要比其他几何变量的关系更大一些。虽然現在可用的数据是有限的<sup>①</sup>，但还是想把每一种材料都能用一平均的  $q$  与  $r$  的关系曲線来表示。图10中給

① 脚标  $t$  与极限状态有关，即  $(\sigma, N)$  图的水平部分或者是循环次数特别大的地方(例如铝合金为500百万次)。至于  $(\sigma, N)$  图上部循环次数较小处的关系式将在G节中给出。

② 某些文献指出<sup>41</sup>，对于硬度較大的淬火并回火的鋼(約大于洛氏硬度  $R_C 30$ )，其破坏机理可以不同；即使材料还保持相当的塑性，还是用  $K_t$ ，而不用  $K_{t'}$ 。对于硬度超过  $R_C 45$  时，显然有相当大的殘余应力或細微的裂紋，使  $q$  值降低。但是由于在硬度  $R_C 45$  以上时， $(\sigma, N)$  的关系曲線已不是一般的形状。因此建議：为了安全，在該区域內还是采用  $q=1$ ，直到作出了进一步的研究。

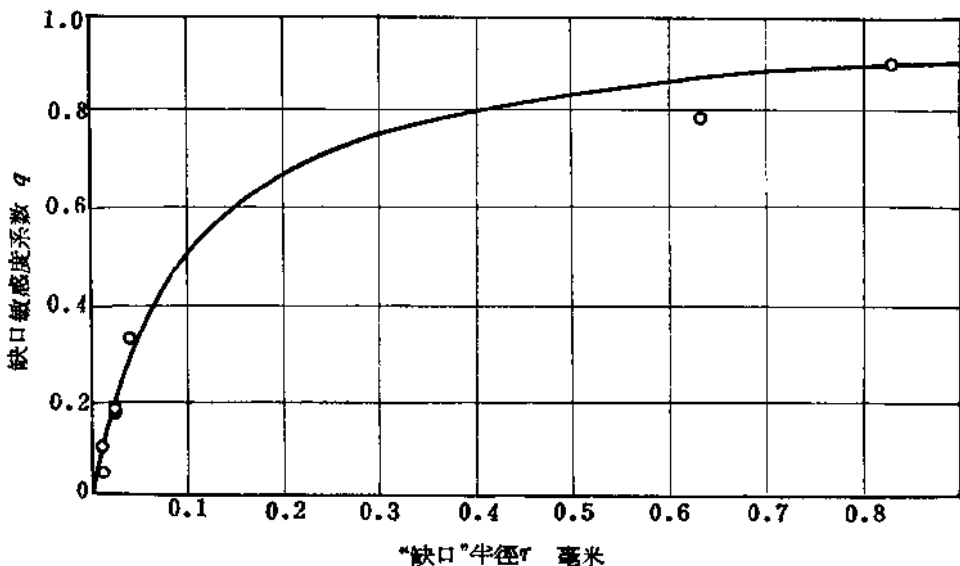


图9淬火并回火的合金钢试件的缺口敏感度[根据高夫(Gough)的数据]

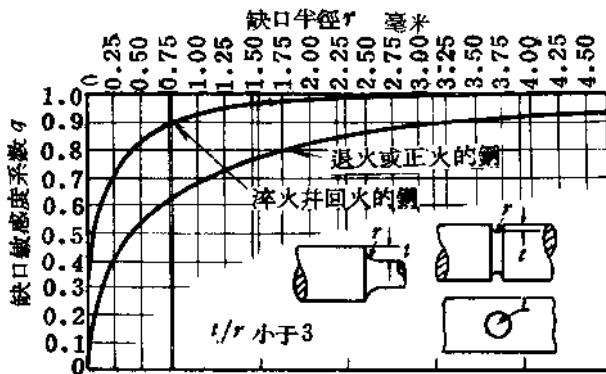


图10 平均的缺口敏感度曲线

出了可以用于设计的代表性曲线①。注意图10中的平均曲线系根据  $t/r$  小于 3 时的数据画出的。对于深而尖的沟槽，或高而尖的台肩（在设计中应尽可能的避免这些情形），都不能应用这些曲线。

一般说来，我们对缺口敏感度的知识还是很不够的。但是我们认为：在没有更好的可用资料以前，采用图10中的曲线，还是能够提供合理的设计数据的。

关系式(11)、(12)和(13)可写成下面的形式。用于设计时，具有另一种明确的意义：

$$K_{tf} = q(K_t - 1) + 1 \quad (14)$$

① 图8、9及10的曲线系按照经验式  $q = 1 - 1 / \{ [r(K_t - 1) / 3K_t] / \delta \} + 1$  画出（ $\delta$  表示疲劳破坏深度），对于淬火并回火的钢，采用平均值  $K_t = 1.85$ ， $\delta = 0.0127$  毫米；对于正火钢，采用  $\delta = 0.0203$  毫米。另一类似的诺伯(Neuber)<sup>64</sup>关系式  $q = 1 / (1 + \sqrt{\rho'/r})$  ( $\rho'$  表示金属晶粒尺寸)，可适用于上面的钢的数据，取  $\rho' = \delta$  的各种数值。这样的配合是不好的，但是此关系式比较简单，并与  $K_t'$  值无关。还可参阅文献45和46。